

ドメインから形成されている。そして、それらのコンビネーションにより感覚細胞周囲の緻密な構造が形成されバリアーとしての役割を果たしており、water homeostasisが保たれていると思われる。

[参考文献]

Distinct subdomain organization and molecular composition of a tight junction with adherens junction features. Nunes FD et al. J Cell Sci. 2006 Dec ;4819-4827.

## 5. マウス内耳における TRP の発現

工田昌也, 平川勝洋 (広島大)

### [はじめに]

*trp* 遺伝子は、1989 年にショウジョウバエにおける眼の光受容器異常変異体の原因遺伝子として同定された。*trp* 変異株では、光応答性が一過性で細胞外からの  $\text{Ca}^{2+}$  流入が減弱する。このことに由来して transient receptor potential (TRP) と命名された。その後、TRP タンパク質は 6 回の膜貫通領域を有する  $\text{Ca}^{2+}$  透過性の高いチャネルであることが明らかとなり、電位作動性の  $\text{K}^+$  チャネルと類似して 4 量体で機能的なチャネルを形成すると考えられている。現在、TRP スーパーファミリーは、哺乳類では *TRPC*, *TRPV*, *TRPM*, *TRPA*, *TRPP*, *TRPML* の 6 つのサブファミリーに大きく分けられている。TRP チャネルは個々のチャネルの活性メカニズムはかなり異なるものの、化学物質受容、温度受容をはじめとして広く cell sensor として機能することが明らかになっている<sup>1)</sup>。内耳においても最近 *TRPV2*<sup>2)</sup>, *TRPA1*<sup>3)</sup> の存在が確認され、様々な役割を持つことが明らかになってきている。今回、我々は内耳での TRP チャネルの働きを解明するために、28 個すべてのマウス内耳での局在を免疫組織学的に解析しその役割について検討を加えた。

### [対象と方法]

実験にはプライエル反射正常の CBA/J マウス、8 週齢（体重約 20g）を使用した。動物はネンプタールによる深麻酔下に 4% パラホルムアルデヒドにて灌流固定後、断頭、側頭骨を摘出した。試料は EDTA にて脱灰後、4 μm の厚さで凍結切片を作製、各種抗 TRP 抗体を用いて、免疫染色を行い蛍光顕微鏡にて観察した。

### [結果]

#### *TRPV*

蝸牛側壁では、血管条は *TRPV2, 4, 5, 6* の局在が認められた。コルチ器では感覚細胞に *TRPV1, 2, 3, 4, 5*、支持細胞に *TRPV1, 2, 3, 4, 6* の局在が認められた。蝸牛神経節では *TRPV1, 2, 3, 4, 5, 6* が神経節細胞に認められた。

前庭器では前庭感覚細胞に *TRPV1, 2, 3, 4, 5, 6*、暗細胞に *TRPV2, 4, 5, 6*、前庭神経節に *TRPV1, 2, 3, 4, 5, 6* の局在が認められた。

#### *TRPM, TRPA1*

蝸牛側壁では、血管条に *TRPM1, 2, 3, 6, 7*、ラセン隆起に *TRPM1, 2, 6, 7*、ラセン鞘帯に *TRPM1, 2, 6, 7* の局在が認められた。コルチ器では感覚細胞に *TRPM1, 2, 3, 6, 7, 8*、支持細胞に *TRPM1, 2, 3, 4, 6, 7, 8* の局在が認められた。蝸牛神経節では *TRPM1, 2, 3, 4, 6, 7, 8* が神経節細胞に認められた。また、蝸牛神経には *TRPM8* が強く発現していた。

前庭器では前庭感覚細胞に *TRPM1, 2, 3, 4, 6, 7, 8*、暗細胞に *TRPM1, 3, 6, 7*、前庭神経節に *TRPM1, 2, 3, 4, 6, 7, 8* の局在が認められた。

*TRPA1* は蝸牛、前庭の神経に強い局在を認めたが、神経節細胞には認められなかった。

#### *TRPC*

蝸牛側壁では、*TRPC3, 4, 5, 7* は血管条での発現が強く、*TRPC1, 2, 6* は血管条、ラセン隆起、ラセン鞘帯に局在が認められた。コルチ器では感覚細胞に、蝸牛神経節では神経節細胞に全ての *TRPC* の発現が認められた。また、蝸牛神経には *TRPM8* が強く発現していた。前庭器では前庭感覚細胞、前庭神経節細胞に全ての *TRPC* の発現が認められ、前庭暗細胞に *TRPC1, 3, 4, 5, 6, 7* の局在が認められた。

#### *TRPML*

TRPML の局在は TRPML1-3 ではほぼ同一であり、血管条、内外有毛細胞、支持細胞、蝸牛神経節に認められ、前庭器では感覚細胞、暗細胞、前庭神経節細胞で認められた。

#### *TRPP*

TRPP2 は蝸牛側壁で僅かな発現が認められ、コルチ器支持細胞、蝸牛神経節で発現が認められた。TRPP3 は主に血管条、蝸牛神経節で発現が認められた。TRPP5 は蝸牛神経節で弱い発現が認められるのみであった。前庭器では感覚細胞で TRPP2, 3 の発現が認められ、前庭神経節では TRPP2, 3 の発現が認められた。(表)

#### [考察]

これまでの研究から内耳には各種のTRPチャネルが存在することが報告されており、近年その機能についてもかなりのことがわかつてきている<sup>2,3)</sup>。中でもTRPVについては主としてTRPV1-3が感覚細胞の興奮伝達機構に関与し、TRPV4(TRPV2)が内耳での水、イオンの恒常性の維持や感覚細胞での浸透圧受容に関わることが示唆されている<sup>2)</sup>。今回、これらに加えて内耳での他のTRPチャネルの局在を検討した結果、内耳には殆ど全てのTRPチャネルが発現しており、それぞれ様々な機能に関連していることが推察された。その主な役割として、TRPV5, 6は内耳でのCa<sup>2+</sup>の再吸収に関与し<sup>4,5)</sup>、TRPMについてはTRPM3, 6, 7が水分や内リンパの恒常性の維持に、TRPM2, 3, 4, 6, 7, 8が感覚細胞の受容機構に、TRPM2, 7が細胞障害に関与し、TRPM8、TRPA1は特に感覚細胞からの神経伝達に関与すると考えられた<sup>6)</sup>。また、TRPCについてはTRPC3が外有毛細胞の運動性に関与することも報告されており<sup>7)</sup>、TRPC1-7の殆どがほぼ似た分布形式をとることから内耳での感覚細胞の興奮伝達に関与することが推察された。TRPMLについてはTRPML3の異常が難聴や前庭機能障害を引き起こすことが知られていること<sup>8)</sup>、TRPML1、TRPML2の分布がTRPML3と同一であることより、主としてTRPML3が感覚細胞の発生、興奮伝達、内耳での水、イオンの恒常性の維持にTRPML1、TRPML2と共同して働くと考えられた。TRPPに関してはTRPP3が内耳での内リンパの恒常性の維持に関与していることが考えられた<sup>9)</sup>。さらに今回の結果から内耳では感覚細胞を始めとして様々な領域で複数のTRPチャネルが発現しており、例えば温度感受性チャネルとしてのTRPV1-4、TRPM8、TRPA1などは神経節細胞や神経には全てが発現しており、細胞容積の変化を感受するTRPV4、TRPM3、TRPP3などは血管条に共存している。すなわち類似した機能を持つTRPチャネルが複数存在していることは内耳での機能を複数で担っていることを示し、ひとつが欠損したとしても大きな機能障害が生じないようになっているという機構の存在が示唆された。今後は各チャネルのknockoutマウスの研究と共に複数のチャネルのknockoutマウスを用いた研究が必要と考えられた。

#### [結論]

マウス内耳におけるTRPチャネルの局在を検討した結果、内耳では殆ど全てのTRPチャネルが発現しており、それぞれ様々な機能に関連していることが推察された。

#### [参考文献]

1. Venkatachalam K, Montell K. TRP channels. Annu Rev Biochem 2007; 76: 387-417.
2. Ishibashi T, Takumida M, Akagi N, Hirakawa K, Anniko M. Expression of transient receptor potential vanilloid (TRPV) 1, 2, 3 and 4 in mouse inner ear. Acta Otolaryngol 2008; 128: 1286-93.
3. Cuajungco MP, Grimm C, Heller S. TRP channels as candidates for hearing and balance abnormalities in vertebrate. Biochimica et Biophysica Acta 2007; 1772: 1033-7.
4. Nakaya K, Harbridge DG, Wangemann P, Schultz BD, Green ED, Wall SM, Marcus DC. Lack of pendrin HCO<sub>3</sub><sup>-</sup> transport elevates vestibular endolymphatic [Ca<sup>2+</sup>] by inhibition of acid-sensitive TRPV5 and TRPV6 channels. Am J Physiol Renal Physiol 2007; 292: F1314-21.

5. Wangemann P, Nakaya K, Wu T, Maganti RJ, Itza EM, Sanneman JD, Harbridge DG, Billings S, Marcus DC. Loss of cochlear  $\text{HCO}_3^-$  secretion causes deafness via endolymphatic acidification and inhibition of  $\text{Ca}^{2+}$  reabsorption in a Pendred syndrome mouse model. *Am J Physiol Renal Physiol* 2007; 292: F1345-53.
6. Takumida M, Ishibashi T, Hamamoto T, Hirakawa K, Anniko M. Expression of transient receptor potential channel melastatin (TRMP) 1-8 and TRPA1 (ankyrin) in mouse inner ear. *Acta Otolaryngol* 2009; in press.
7. Raybould NP, Jagger DJ, Kanjian R, Greenwood D, Laslo P, Hoya N, Soeller C, Cannell MB, Housley GD. TRPC-like conductance mediates restoration of intracellular  $\text{Ca}^{2+}$  in cochlear outer hair cells in the guinea pig and rat. *J Physiol* 2007; 579: 101-13.
8. Nagata K, Zheng L, Madathany T, Castiglioni AJ, Bartles JR, Garcia-Añoveros J. The varitint-waddler (Va) deafness mutation in TRPML generates constitutive, inward rectifying currents and causes cell degeneration. *PNAS* 2008; 105: 353-8.
9. Shimizu T, Janssens A, Voets T, Nilius B. Regulation of the murine TRPP3 channel by voltage, pH, and changes in cell volume. *Pflugers Arch-Eur J Physiol* 2009, in press

表：マウス内耳でのTRPチャネルの発現

|       | cochlea |        |     |    |    | spiral ganglion |     | vestibular endorgan |     |     | vestibular ganglion |     |    |
|-------|---------|--------|-----|----|----|-----------------|-----|---------------------|-----|-----|---------------------|-----|----|
|       | SV      | SP     | SL  | HC | SC | SGC             | SGN | VHC                 | DC  | sNF | VGC                 | VGN |    |
| TRPV  | TRPV1   | -      | -   | -  | ++ | +               | ++  | +                   | ++  | -   | +                   | ++  | +  |
|       | TRPV2   | ±      | -   | -  | ++ | +               | ++  | +                   | ++  | ±   | +                   | ++  | +  |
|       | TRPV3   | -      | -   | -  | ++ | +               | ++  | +                   | +   | -   | +                   | ++  | +  |
|       | TRPV4   | +++    | -   | -  | ++ | +               | +   | -                   | ++  | +++ | -                   | +   | -  |
|       | TRPV5   | ++     | ++  | +  | +  | +               | ++  | +                   | +   | +   | +                   | ++  | +  |
|       | TRPV6   | ++     | ++  | +  | +  | +               | ++  | +                   | +   | +   | +                   | ++  | +  |
| TRPM  | TRPM1   | +++    | +++ | ++ | ++ | +               | +++ | -                   | ++  | +   | -                   | ++  | -  |
|       | TRPM2   | ++     | ++  | ±  | ++ | ++              | +++ | -                   | +   | -   | -                   | ++  | +  |
|       | TRPM3   | ++     | -   | -  | +  | +               | ++  | -                   | +   | +   | -                   | ++  | -  |
|       | TRPM4   | ±      | -   | -  | ±  | +               | ±   | -                   | +   | -   | -                   | +   | -  |
|       | TRPM5   | -      | -   | -  | -  | +               | ±   | -                   | ±   | -   | +                   | ±   | -  |
|       | TRPM6   | +      | +   | +  | ++ | ++              | ++  | -                   | ++  | ++  | -                   | ++  | -  |
|       | TRPM7   | ++     | +   | ±  | ++ | ++              | ++  | -                   | ++  | +   | -                   | ++  | -  |
|       | TRPM8   | ±      | ±   | +  | +  | ±               | +   | ++                  | +   | -   | ++                  | ++  | ++ |
| TRPA  | TRPA1   | ±      | -   | -  | -  | -               | -   | ++                  | +   | -   | +++                 | +   | ++ |
|       | TRPC    | TRPC1  | +   | +  | +  | ++              | +   | +++                 | +++ | ++  | +                   | ++  | +  |
| TRPC  | TRPC2   | +      | +   | +  | ++ | +               | ++  | +                   | ++  | +   | -                   | ++  | +  |
|       | TRPC3   | ++     | +   | +  | ++ | ++              | +++ | +++                 | ++  | +   | +                   | ++  | +  |
|       | TRPC4   | ++     | +   | +  | ++ | +               | ++  | +                   | ++  | ++  | -                   | ++  | +  |
|       | TRPC5   | ++     | +   | +  | +  | ++              | ++  | +                   | ++  | ++  | +                   | ++  | -  |
|       | TRPC6   | +      | +   | +  | +  | ++              | +   | +                   | ++  | +   | +                   | +   | -  |
|       | TRPC7   | ++     | +   | +  | ++ | +               | ++  | +                   | ++  | +   | +                   | ++  | +  |
|       | TRPML   | TRPML1 | ++  | +  | +  | ++              | +   | ++                  | +   | +   | +                   | ++  | +  |
| TRPML | TRPML2  | ++     | +   | +  | ++ | +               | ++  | +                   | ++  | +   | +                   | ++  | +  |
|       | TRPML3  | ++     | +   | +  | ++ | +               | ++  | +                   | +   | +   | +                   | ++  | +  |
| TRPP  | TRPP2   | -      | -   | -  | -  | +               | ++  | +                   | ++  | +   | -                   | ++  | -  |
|       | TRPP3   | ++     | -   | -  | +  | +               | +   | +                   | ±   | -   | -                   | +   | -  |
|       | TRPP5   | -      | -   | -  | -  | -               | +   | ±                   | ±   | -   | -                   | ±   | -  |

SV: stria vascularis; SP: spiral prominence; SL: spiral ligament; HC: cochlear hair cell; SC: cochlear supporting cell; SGC: spiral ganglion cell; SGN: nerve fiber of the SGC; VHC: vestibular sensory cell; DC: dark cell; sNF: subepithelial nerve fiber; VGC: vestibular ganglion cell; VGN: nerve fiber of the VGC

## 6. メニエール病の動物モデル

工田昌也, 平川勝洋 (広島大)

### [はじめに]

メニエール病の動物モデルとしては現在、内リンパ囊（管）閉塞モデル動物が最も一般的に用いられており、このモデルを用いてメニエール病の病態や治療に関して様々な検討が行われてきた<sup>1,2)</sup>。しかし、このモデルは効率的に内リンパ水腫を作製することができ、低音域の難聴を生じるもの、メニエール病に最も特徴的な一過性めまい発作は出現せず、メニエール病の病態を十分に再現しているとは言いがたい<sup>2,3)</sup>。メニエール病の動物モデルとしては内リンパ囊閉塞モデルの他に、能動的内リンパ水腫モデル<sup>4)</sup>、免疫反応を利用した内リンパ水腫モデル<sup>5)</sup>、二相性モデル<sup>6)</sup>、など様々なモデルが存在するが、いずれのモデルもめまい発作の反復というメニエール病の病態の再現については不十分であるのが現状である。これらのこと踏まえて、我々は、メニエール病のより適切な動物モデルとして、内リンパ囊自体に手術的操作を加えず内リンパ水腫を作製し、しかも可逆的な平衡機能障害の出現を示すような動物モデルを開発し<sup>7)</sup>、メニエール病でのめまい発作の発現に必要な条件についての検討を加えた。

### [対象と方法]

実験にはプライエル反射正常、8週齢のCBA/Jマウスを使用した。モデル動物の作製には左耳に大腸菌由来リポポリサッカライド (LPS) 1mgを経鼓膜的に1日1回、アルドステロン 100 μg/100g (体重) を腹腔内に1日1回、5日間連日投与した。動物は薬剤の最終投与終了1日後に左耳に1:10,000エビネフリン、または3% ソジウムニトロブルシド (SNP) を経鼓膜的に鼓室内投与し、エビネフリン投与群では2時間後、SNP投与群では1時間後に深麻酔下に断頭、側頭骨を摘出、4%バラホルムアルデヒドにて固定後、EDTAで脱灰、エタノール系列にて脱水後、水溶性レジン (JB-4<sup>®</sup>) にて包埋した。その後、通常の方法で切片を作製し、光学顕微鏡にて形態学的観察を行なった。

### [結果]

モデル動物にエビネフリンを投与したものではエビネフリン投与側への偏倚傾向、薬剤投与耳と反対側に向かう眼振が認められたが、SNP投与群ではこのような変化は認められなかった。

今回開発したモデル動物は蝸牛に軽度から中等度の内リンパ水腫の発現を認め、回転別では上方回転でより強い傾向にあった。内リンパ囊の観察では内リンパ腔の大きさは正常～拡大まで様々であったが、上皮細胞は円柱形でLISの拡張も認められた。

モデル動物にエビネフリンを投与した群では、血管条の細胞間隙は拡大し、空胞形成が認められ、ライスネル膜には著明な雛壁形成が認められた。SNP投与群ではこのような変化は殆ど認められなかった。内リンパ水腫の程度とライスネル膜の長さの変化の計測では、エビネフリン投与群で内リンパ水腫の程度が有意に減少していたが、ライスネル膜の長さには変化がなく、SNP投与群では内リンパ水腫の程度、ライスネル膜の長さのいずれにも変化は認められなかった。(図1)

モデル動物およびSNP投与群では前庭器に内リンパ水腫は殆ど認められなかったが、エビネフリン投与群では内リンパ腔の軽度の拡大が認められた。(図2)

内リンパ囊ではエビネフリン投与群で内リンパ腔の軽度の拡張と granular cell の出現が認められたが SNP投与群では内リンパ腔の拡大や狭小化は認められなかった。

### [考察]

内リンパ水腫は内リンパの吸收障害や、内リンパの産生過剰、あるいはその両者によって引き起こされるが、モルモット内リンパ囊、内リンパ管の閉塞により高率に内リンパ水腫が発生することが報告されて以来<sup>①</sup>、内リンパ囊閉塞モデルは現在、代表的なメニエール病の動物モデルとして広く利用されている。一方、内リンパの分泌過剰による内リンパ水腫として中央階へのコレラ毒素の注入やアルドステロン、バゾプレッシンの全身投与により内リンパ水腫が発生することもよく知られている<sup>②,③,⑥</sup>。これらの動物モデルの特徴として、内リンパ水腫、聴力障害は程度の差はある、すべてのモデルで出現するものの、メニエール病の第一の特徴であるめまい発作は殆ど出現しないということがあげられる。今回開発したモデルは内リンパ水腫の作製に、内リンパの分泌過剰と吸收障害の両者を用いており、エビネフリンの投与により一過性の平衡機能異常が生じ、メニエール病の病態の再現により適していると考えられる<sup>⑦</sup>。このモデル動物を用いてメニエール病のめまい発作発現機序を検討した結果、エビネフリン投与により、蝸牛では内リンパ腔容積の減少、前庭では一過性内リンパ水腫の形成が生じることが明らかとなった。このような変化は SNP 投与群では認められなかった。正常動物では内耳血流はエビネフリン投与で減少し、SNP 投与で増加するが、内耳血流低下に際しては、内リンパ圧や量の相対的低下が生じ、それを代償するために内リンパ囊の狭小化、stainable substance の出現が起こり、内耳血流増加の際には内リンパ圧や量が相対的に増加し、それを代償するために内リンパ腔が拡大するといった代償機構が働いている<sup>⑧</sup>。しかし、我々のモデル動物ではこの代償がうまく働くかず、内耳血流が低下したときに前庭器で一過性の内リンパ腔の拡大が起こり平衡障害が生じることが推察された。これまでの研究<sup>②,③</sup>からは、内リンパ水腫が存在するのみではめまい発作は生じないと考えられており、側頭骨病理所見でも必ずしもすべてのメニエール病患者で内リンパ水腫が認められるわけではなく、反対に、内リンパ水腫が生じているにもかかわらずメニエール病の症状がないものも報告されている<sup>⑨</sup>。実際、メニエール病患者は常にめまいを起こしているわけではなくストレスなどを契機として発作性にめまいを生じる。

以上のことからメニエール病の病態を考えると炎症、免疫反応、内リンパ囊形成不全など、様々な原因からの内リンパ囊での内リンパ液吸收不全や、ストレスによる内リンパの過剰産生などで内リンパ水腫が形成される。この状態のみではめまい発作は生じないものの、内リンパ圧の急激な変化、内耳血流の障害、膜迷路の破裂、透過性の亢進などの新たなストレスが加わることによりめまい発作を引き起こすというメカニズムが推察された。

### [結論]

新しく開発したメニエール病モデル動物の検討からメニエール病のめまい発作は内リンパ水腫に加えて、内リンパ圧の急激な変化、内耳血流の障害、膜迷路の破裂、透過性の亢進などの新たなストレスが加わることにより引き起こされることが推察された。

### [参考文献]

1. Kimura RS, Schuknecht H. Membranous hydrops in the inner ear of the guinea pig after the obliteration of the endolymphatic sac. Pract Otorhinolaryngol 1965; 27: 343-54.
2. Kimura RS. Animal models of endolymphatic hydrops. Am J Otolaryngol 1982; 3: 447-51.
3. Gates GA: Meniere's Disease review 2005. J Am Acad Audiol 2006; 17:16-26.
4. Takeda T, Takeda S, Kitano H, Okada T, Kakigi A. Endolymphatic hydrops induced by chronic administration of vasopressin. Hear Res 2000; 140: 1-6.
5. Tomiyama S. Development of endolymphatic hydrops following immune response in the endolymphatic sac of the guinea pig. Acta Otolaryngol 2004; 124: 1145-8.

6. Dunnenier EA, Segenhout JM, Wit HP, Albers FWJ. Two-phase endolymphatic hydrops: a new dynamic guinea pig model. *Acta Otolaryngol (Stockh)* 1997; 117:13-19.
7. Takumida M, Akagi N, Anniko M. A new animal model for Meniere's disease. *Acta otolaryngol*
8. Akagi N, Takumida M, Anniko M. Effect of inner ear blood flow changes on the endolymphatic sac. *Acta Otolaryngol* 2008; 128:1187-95.
9. Paparella MM. Pathogenesis and pathophysiology of Meniere's disease. *Acta Otolaryngol (Stockh)* 1991; Suppl 485: 26-35.

図1：モデル動物の蝸牛の変化

a:モデル動物では蝸牛に内リンパ水腫が認められる。b:モデル動物にエピネフリンを投与したものではライスネル膜の皺壁形成が認められる（↑）c:モデル動物にSNPを投与したものでは変化は認められない。

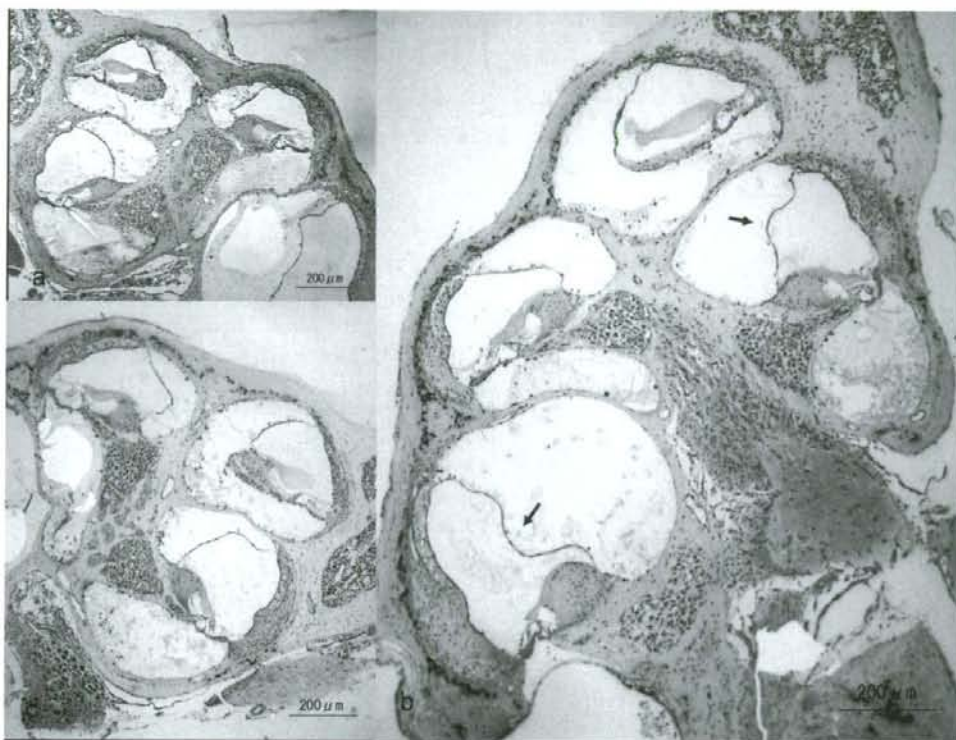
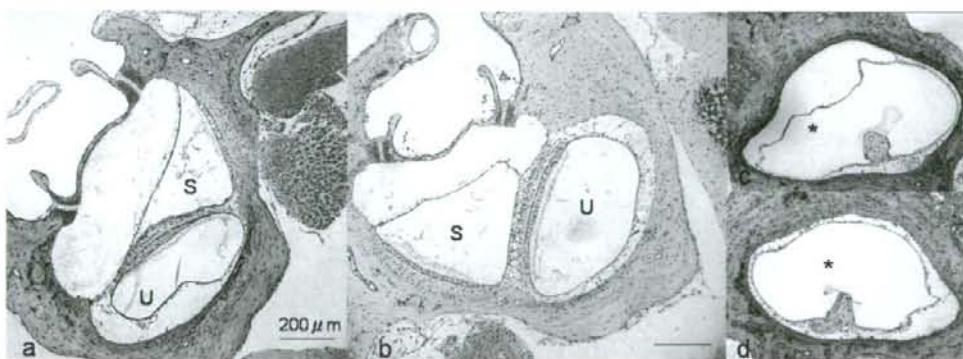


図2：モデル動物の蝸牛の変化

a:モデル動物の前庭器では内リンパ水腫は認められない。S: 球形囊、U: 卵形囊、b:モデル動物にエピネフリンを投与したものでは内リンパ腔の拡大が認められる（↑）。c:モデル動物の半規管には内リンパ水腫は認められない（\*）。d:モデル動物にエピネフリンを投与したものでは内リンパ腔の拡大が認められる（\*）



## 7. 耳毒性薬剤によるクプラの変化 —半規管感覚上皮障害との比較検討—

許斐氏元、鈴木 衛、大塚康司、稲垣太郎、長谷川剛、清水重敬、河口幸江（東京医大）

### [はじめに]

内耳への耳毒性薬剤の影響はアミノ配糖体系抗生物質を使った蝸牛や前庭における感覚細胞の障害を中心に多数報告されている。しかし、クプラは脆弱で形態学的評価が困難なこともあり、その障害についての報告はきわめて少ない。これまで我々はクプラを墨汁で染色してその形態や膨大部内での動きを観察してきた（1、2）。クプラが障害されると半規管の反応性が変化し、末梢性めまいの原因になることが予想される。今回、ゲンタマイシン（GM）を内耳内へ注入し、クプラの形態変化を半規管膨大部感覚上皮の変化と比較検討した。

### [対象と方法]

ウシガエル (*Rana catesbeiana*) を用いた。エーテル麻酔後、開口して耳管内側の口蓋粘膜に小切開を加えた。粘膜を剥離して内耳骨包を露出させ、球形囊を指標として微細シリジンを刺入し、外リンパ腔に GM300 μg (7.5 μl) を注入した。生食 7.5 μl を注入した群を対照とした。

#### 1) クプラの観察

GM 処置後、一定期間（3 日後、7 日後、14 日後の 3 群、各群 10 匹）後に深麻酔後断頭し、リングル液の中で後半規管のクプラを摘出した。摘出したクプラは墨汁で染色した後、実体顕微鏡で観察した。クプラの変化は表 1 のように Grade 1～4 の 4 段階で評価した。

#### 2) 感覚上皮の観察

クプラ除去後の後半規管膨大部感覚上皮は速やかに 2.5% グルタルアルデヒド液内で固定し、1% オスマニウムで導電染色を施した。エタノール上昇系列で脱水、酢酸イソアミルで置換後に CO<sub>2</sub> 臨界点乾燥を行った。白金パラジウムによるイオンスパッタコーティング後、走査電子顕微鏡（HITACHI S-800、以下 SEM）で感覚上皮を観察した。感覚上皮の変化は表 1 のように Grade 1～4 の 4 段階で評価した。

GM 処置した各群において、クプラと膨大部感覚上皮の形態変化を比較検討した。

### [結果]

クプラは GM 処置により種々の変化を呈した。クプラの主な変化は頂部（膨大部頂部側）を含む辺縁からの収縮であった（図 1）。

#### 1. GM 処置 3 日後の変化（表 2）

全 10 例中 7 例ではクプラの変化が乏しく Grade 1 であった。クプラの明らかな変化は 3 例でみられ、いずれも Grade 4 でクプラは消失していた。これらは感覚上皮障害も高度であった。Grade 2 以上の感覚上皮障害はすでに 7 例でみられた。

#### 2. GM 処置 7 日後の変化（表 3）

クプラと感覚上皮の障害がともに Grade 2 以下の軽度変化例が 10 例中 5 例であった（図 2）。その他、クプラ障害が高度な例は感覚上皮変化が軽度、感覚上皮障害が高度な例はクプラ障害が軽度と、クプラ変化と感覚上皮障害が解離した。GM 処置 3 日後と比べて感覚上皮障害が高度になる傾向はなかった。

#### 3. GM 処置 14 日後の変化（表 4）

クプラと感覚上皮障害がともに Grade 2 以下の軽度変化例は 2 匹にとどまった。クプラと感覚上皮障害が

ともにGrade 3以上に障害されたものが3例みられ、クプラと感覚上皮の障害が解離した例が4例あった(図3)。Grade 2以上のクプラ変化例は7例に増加した。

#### 4. GM処置7~14日後の変化(表5)

GM投与7日と14日の資料をあわせた全20匹のうち、クプラにGrade 2以上の変化がみられたのは11例で55%であった。Grade 2以上の感覚上皮障害は14匹で観察され、クプラよりも感覚上皮の方が変化しやすい傾向があった。クプラと感覚上皮で並行して障害が進むものが3日後と比べ増加していた。

#### 5. 生食処置の対照群

6例全例でクプラ、感覚上皮とも正常所見であった。

#### [考察]

耳毒性薬剤が内耳に与える影響については、蝸牛を中心に多くの研究がある。しかし、そのほとんどが感覚細胞を観察したもので、クプラなど付属器の変化についての報告は少ない。蝸牛の付属器としての蓋膜の障害については報告されており、難聴の原因になると考えられている。音響外傷や、Connexin 26 mutation, DFNA8/12 family,  $\beta$ -tectorin mutationなどによる蓋膜の有毛細胞からの解離、rolling-up現象、膠原線維障害などが報告されている(3-5)。前庭では、耳石、耳石膜、平衡斑についての研究があるが、クプラについてはほとんど報告がない。しかしながら、クプラの形態的脆弱性を考えると高度の変化が予測される。今回我々は、内耳にGMを注入し、クプラと半規管感覚上皮の形態変化を観察したが、その結果、感覚細胞障害のみならずクプラにも縮小などの変化が起きることが判った。

クプラは膨大部稜側(以下、底部と略す)から頂部に向かう小管状構造と、その間を結ぶネット状構造から成る(6, 7)。その間質は膨大部支持細胞から分泌されるムコ多糖体で埋められている(8)。また、底部下面には無数の小孔がみられ、ここに感覚毛が入りこんでいる。今回の検討で、GM内耳内注入によってクプラは常にその頂部、辺縁から縮小し、底部は残存した(図1)。これは、クプラを墨汁染色すると膨大部頂部を墨汁が通過することで容易に確認できた。クプラはその底部から代謝され維持されるといわれるが、これは耳石器と同様の機構で、支持細胞がムコ多糖体を分泌しクプラに供給しているとされる(9)。今回の検討で、クプラが頂部から縮小し底部が残ったのはこのためと考えられる。

クプラが縮小するとその運動様式も変化することが予想される。正常クプラは膨大部を遮断するように存在し、頭部回転などによる生理的内リンパ流動では、クプラ底部が動き、流動量の増加に伴いクプラの中央が動いてdiaphragma様運動となる(10-12)。さらに、非生理的な強い力が加わるとクプラ頂部の接着が解離してswing-door様運動になる(13, 14)。クプラが軽度に縮小した状態では、膨大部壁とクプラ間に隙間が生じる。この状態では、内リンパ流動が隙間を通過するため内リンパ流動に対する感受性は低下する(15)(図4)。この状態では、カロリックテストは半規管麻痺の結果になると予想される。

クプラが縮小するとswing-door様運動に変化し、生理的刺激に対するVORの閾値が上昇するだけでなく反応遅延も生じて、体動時浮遊感などの不安定症状の原因となる可能性がある。また、swing-door様運動ではクプラ結石症が生じた場合、クプラ可動性の増加によって激しい眼振が起きると推察される。すなわち、カロリックテストではCPであっても頭位眼振が強く発現することになる(16)。カロリックテストでのCPは従来、感覚細胞や神経の機能低下を示すと考えるのが一般的であった。しかし、今回の検討でクプラ縮小が強く、感覚細胞障害は軽度という例もあったことから、カロリックテストのCPには、従来の感覚上皮や神経の機能低下によるものとクプラの収縮によるものがあると考えられる。

さらに、クプラが縮小したとすると半規管遮断術無効の原因も説明できる。半規管遮断術は難治性BPPVの多くをコントロールできる有用な方法の一つ(17)であるが、中には無効例も存在する(16)。手術により半規管遠位端を遮断しても、クプラの縮小で遮断部位とクプラ間の閉鎖空間効果が消失し、swing-door様運動でクプラ結石症の眼振が持続することになる。また、メニエール病において内リンパ水腫で膨大部壁が伸

展すればクプラと壁に間隙が生じ、めまいの病像や検査所見に影響を与えることが考えられる。このように、クプラ自体あるいは周辺に形態的変化が起こると BPPV やメニエール病の病態や臨床像がより複雑で多様となる。また、明らかな眼振がない体動時の浮動性めまいや、臨床上原因不明とされてきた眼振を説明できる可能性もあり、クプラ異常を考慮しためまい診断が重要になると考えた。

GM 処置後のクプラと膨大部感覚上皮の障害結果を比較すると、処置 3 日後ではクプラは正常で、感覚上皮が中等度まで障害されている例が 70% と多かった。感覚上皮の変化は有毛細胞の癒合や球状化が多く、脱落前の変化過程にあると思われた。GM 処置後 7 日、14 日後の群ではこれら変性過程の有毛細胞はほとんどみられなかった。クプラ障害は Grade 4 が 30% あり、すべてクプラは消失しており感覚上皮障害も伴っていた。多くがクプラ正常である中で感覚上皮に高度障害がみられたことは、クプラより感覚上皮が障害を受けやすいことを示している。GM 処置 7 日後では、クプラに軽度の障害例がみられ、これらはクプラが徐々に変化したものと考えた。クプラと感覚上皮の障害が Grade 1 と Grade 4 に解離する例が 40% あった。GM 処置 14 日後では、感覚上皮障害も Grade 4 が 50% と増加し、これらの 80% がクプラ変化を伴っていた。クプラと感覚上皮が共に高度に障害される例が多かったが、解離している例も 30% あった。このような感覚細胞障害にクプラの障害が伴わない例があったことは予想と異なる結果であった。

GM による感覚上皮障害性は、I 型細胞が最も受傷性が高く、ついで II 型細胞、支持細胞の順とされている (18)。ウシガエルには II 型細胞のみ存在するが、クプラ障害がその維持に強く関わる支持細胞の障害によって生じていると考えると、GM に対する易傷性は変化が起きた例数において感覚細胞、支持細胞で同等であった。感覚上皮の維持には、それらを取り巻く細胞環境が相互に関係している可能性があり、クプラの代謝にも支持細胞のみでなく、その周囲の細胞環境やイオン環境も影響する。また、感覚細胞も支持細胞の産生するムコ多糖体で保護されている。徐々に支持細胞の変性が強くなると、感覚細胞を保護できなくなり感覚細胞の変性消滅が加速したと推察した。クプラと感覚細胞の障害が解離した例がみられたが、クプラが正常で感覚細胞のみ高度に障害されている例では、感覚細胞はクプラの形態維持には寄与しないことが示唆される。また、感覚細胞が正常でクプラのみ高度に障害される例に関しては、クプラが高度変性していくと支持細胞が残存している可能性が考えられる。今後は支持細胞の変化も含めて観察する必要がある。また、クプラの再生がどのように起こるかも興味深い点である。

一般に両生類は感覚細胞や末梢神経などの再生能が強く、末梢組織は強靭である (19, 20)。それに比べ哺乳類の末梢組織は脆弱であり、ヒトのクプラは両生類より変化を受けやすいと推測される。今回 GM によって生じた変化から考えて、内耳障害のある状態ではヒトクプラは容易に変化を受けることが想像される。クプラが縮小した状態でのクプラ結石症なども頭位性めまいの病態の一つと考えたい (21)。

今後はクプラ障害時の支持細胞の形態やクプラ再生について検索する予定である。また、感覚器の付属器障害にも注目し、末梢性めまいの病態の一つとして考慮していく必要があると考えている。

### [結論]

1. GM 内耳内投与後、クプラが辺縁から縮小するのが観察された。
2. GM 処置後 2 週間でクプラの障害が進行した。
3. 感覚細胞の障害が軽度にもかかわらずクプラの変化が高度のように、両者の障害度が相関しない例があった。
4. クプラの形態的変化が BPPV の病態や臨床像を複雑にする可能性が示唆された。
5. クプラの形態変化を考慮し、CP などカロリックテストの意義を再検討する必要がある。

[参考文献]

1. Suzuki M, Harada Y: An experimental study on the frog semicircular canal- functions of cupula and vestibular ganglion. *J Otolaryngol* 14: 36-40. 1985.
2. Suzuki M: Functional physiology of the semicircular canal ampulla. *Biol Sci Space*15: 353-355. 2001.
3. Smolders JW: Functional recovery in the avian ear after hair cell regeneration. *Audiol Neurotol* 4: 286-302. 1999.
4. Jun AI, McGuirt WT, Hinojosa R, Green GE, et al: Temporal bone histopathology in connexin 26-related hearing loss. *Laryngoscope* 110: 269-75. 2000.
5. Plantinga RF, Cremers CWRJ, Huygen PLM, et al: Audiological evaluation of affected members from a Dutch DFNA8/12(TECTA) family. *J Assoc Res Otolaryngol* 8:1-7. 2007.
6. Harada Y: Surface structure of semicircular ampullae. *Equilibrium Res. Suppl* 4: 53-58. 1972.
7. Lim D. J.: Vestibular sensory organs. *Arch Otorhinolaryngol* 94: 69-76. 1971.
8. Tauber R, Reher K, Helling K, Scherer H: Complex carbohydrates-Structure and function with respect to the glycoconjugate composition of the cupula of the semicircular canals. *Biol Sci Space*15: 362-366. 2001.
9. Igarashi M, Alford B. R. : Cupula, copular zone of otolith membrane, and tectorial membrane in the squirrel monkey. *Arch Otorhinolaryngol* 68: 420-426. 1969.
10. Hillman DE, McLaren JW: Displacement configuration of semicircular canal cupulae. *Neuroscience* 4: 1989-2000. 1979.
11. Suzuki M, Harada Y: Exposure and direct stimulation of the semicircular canal cupula. *Arch Otorhinolaryngol* 241: 141-147. 1985.
12. Suzuki M, Harada Y: An Experimental study on cupular function: mapping of the cupula by direct stimulation. *Arch Otorhinolaryngol* 241: 237-242. 1985.
13. Oman CM, Frishkoph LS, Goldstein MH Jr: Cupula motion in the semicircular canal of the skate, *Raja erinacea*. An experimental investigation. *Acta Otolaryngol* 87: 528-538. 1979.
14. 大塚康司、鈴木 衛、古屋正由、他:微細刺激によるクプラの偏移の観察. *Equilibrium Res* 64:100-105, 2005.
15. Suzuki M, Harada Y, Kishimoto A: An experimental study on the physical properties of the cupula. Effect of cupular sectioning on the ampullary nerve action potential. *Arch Otorhinolaryngol* 241: 309-316. 1985.
16. 鈴木 衛:めまい治療とEBM. 半規管遮断術. 日耳鼻専門医講習会テキスト 35-39. 2008.
17. Pohl DV : Posterior semicircular canal occlusion for intractable BPPV. *J Vest Res* 6: s-48, 1996
18. Quint E, et al: The effect of explantation and neomycin on hair cells and supporting cells in organotypic cultures of the adult guinea-pig utricle. *Hear Res* 118: 157-167. 1998.
19. Kadir A, Suzuki M, Yajin K, Harada Y: Effect of streptomycin intoxication on vestibular nerve regeneration and posture recovery. *Acta Otolaryngol* 1997; 117: 376-381.
20. Suzuki M, Takahashi H, Yoshida S, et al: Recovery mechanism of postural disturbance after vestibular neurectomy. *ORL* 53: 290-293, 1991.
21. Suzuki M, Kadir A, Takamoto M, Hayashi N: Experimental model of vertigo induced by detached otoconia. *Acta Otolaryngol* 116: 269-272. 1996.

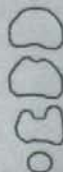
クプラの形態的変化

Grade 1: 正常形態～中央部の陥凹程度

Grade 2: 50%の縮小まで

Grade 3: 51～80%の縮小

Grade 4: 81%以上の縮小または消失



感覚上皮の障害度(半規管膨大部面積中)

Grade 1: 障害範囲が20%以下

Grade 2: 障害範囲が21～50%

Grade 3: 障害範囲が51～80%

Grade 4: 障害範囲が81%以上

表1.クプラの形態変化と感覚上皮障害度の評価

感覚上皮の障害度

ク  
プ  
ラ  
の  
変  
化

| Grade | 1 | 2 | 3 | 4 |
|-------|---|---|---|---|
| 1     | 2 | 2 | 3 |   |
| 2     |   |   |   |   |
| 3     |   |   |   |   |
| 4     |   | 1 | 1 | 1 |

N=10

表2. クプラの変化と感覚上皮障害度の関係. GM 内耳注入後 3 日.

| 感覚上皮の障害度 |   |   |   |   |
|----------|---|---|---|---|
| Grade    | 1 | 2 | 3 | 4 |
| クプラの変化   |   |   |   |   |
| 1        | 2 | 1 |   | 3 |
| 2        | 1 | 1 |   |   |
| 3        |   |   |   |   |
| 4        | 1 | 1 |   |   |

N=10

表3. クプラの変化と感覚上皮障害度の関係. GM 内耳注入後 7 日.

| 感覚上皮の障害度 |   |   |   |   |
|----------|---|---|---|---|
| Grade    | 1 | 2 | 3 | 4 |
| クプラの変化   |   |   |   |   |
| 1        |   | 1 | 1 | 1 |
| 2        | 1 |   |   | 1 |
| 3        |   |   |   | 2 |
| 4        | 2 |   |   | 1 |

N=10

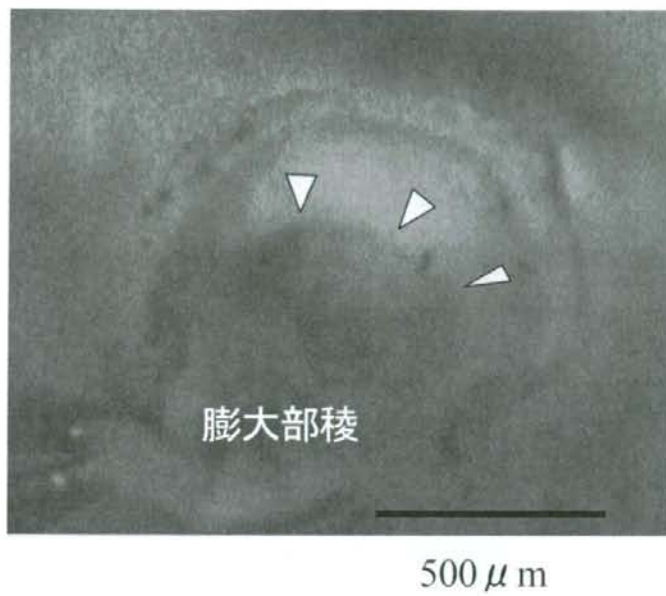
表4. クプラの変化と感覚上皮障害度の関係. GM 内耳注入後 14 日.

### 感覚上皮の障害度

| Grade | 1  | 2 | 3 | 4  |
|-------|----|---|---|----|
| 1     | 2  | 2 | 1 | 4* |
| 2     | 2  | 1 |   | 1  |
| 3     |    |   |   | 2  |
| 4     | 3* | 1 |   | 1  |

N=20

表5. GM 内耳注入後 7 日と 14 日の群を合計した表. (※はクプラの変化と感覚上皮障害度が解離した例)



500  $\mu$  m

図1. 膨大部頂上部から収縮したクブラ (Grade 3)

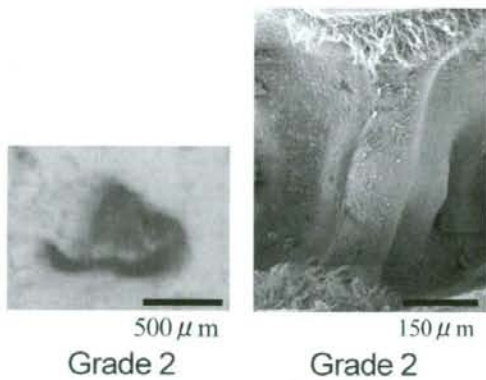


図2. クブラと感覚上皮の障害が軽度の例

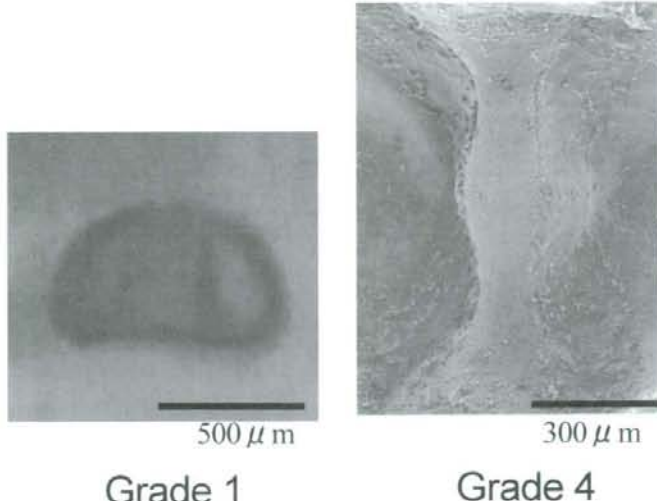


図3. クプラと感覚上皮の障害が解離した例

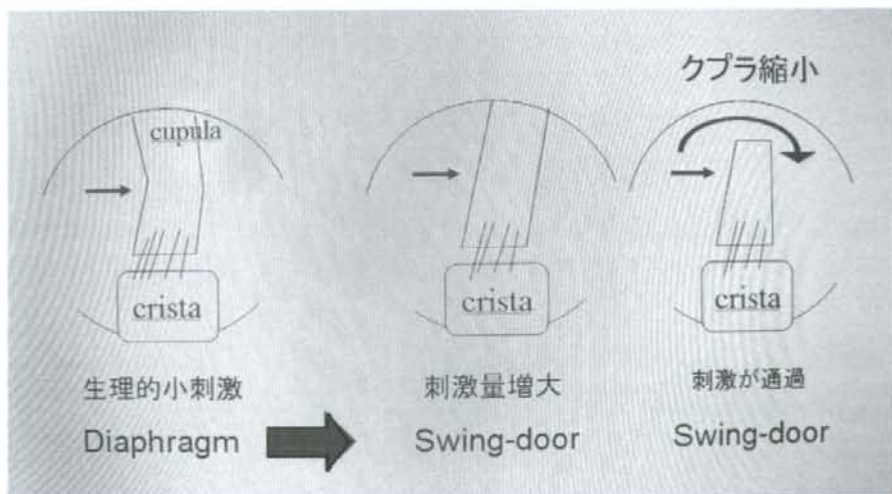


図4. クプラの運動様式

## 8. ロリプラム一側内耳投与の前庭系へ及ぼす影響

下郡博明、菅原一真、橋本 誠、山下裕司（山口大）

### [はじめに]

これまで我々は、前庭神経系、中でも末梢前庭の可塑性における前庭神経節細胞の役割を、CREB の変化を通して検討してきた。neurogenesis を起こしている細胞には CREB のリン酸化がおこるともいわれており、CREB は神経細胞ニューロン間の恒久的接続を確立するための鍵となる分子である。さらに、海馬においては、マイルドなストレスはリン酸化された CREB (p-CREB) の活性化を引き起こし、神経細胞の突起が増加することも報告されている。我々は、前庭神経節細胞においても CREB のリン酸化を促進させることで可塑性を促進できる可能性を考えている。ロリプラムは抗うつ剤として開発された薬剤で、cAMP を活性化し、プロテインキナーゼA(PKA) を活性化することで核内の CREB のリン酸化を促進させる物質である。しかし、その強い嘔吐という副作用から、臨床薬としては姿を消してしまった。今回我々は、この薬剤を内耳局所投与に用い得る可能性を検討するために、ロリプラムを一側内耳に直接投与することでの前庭系に与える影響を検討したので報告する。

### [対象と方法]

プライエル反射正常、鼓膜正常なハートレイ系白色モルモットの雄を用いた。方法は当科で以前より報告している浸透圧ポンプを用いた薬剤の内耳直接投与手技に準じた。キシラジンとケタラールで全身麻酔を行い、耳後切開後に中耳骨胞を開放した。正円窓下に小孔を作成し、浸透圧ポンプを接続したカテーテルを留置した。浸透圧ポンプは皮下に留置した。術側は全て右耳とした。ロリプラムは、全身麻酔の影響が完全に消失した術後12時間から内耳に投与されるように、生理食塩水を満たしたカテーテルをポンプに接続した。術前と術後12、24時間、3日に振子様回転刺激による VOR の観察を行った。回転刺激は、暗所下に最大角速度60 degree/sec、周期10 sec で3回連続の振子様回転刺激を行った。実験終了時、ネンブタール深麻酔下に、断頭し、側頭骨を摘出後、膜迷路を採取して、外側半器官膨大部、卵形囊の形態学的变化を観察した。

### [結果]

術後24時間の時点で、一過性に投与側の VOR gain は低下する傾向を認めたが統計学的に有意な変化ではなかった（図1）。ロリプラム投与により、外側半器官膨大部、卵形囊には、明らかな組織学的变化を認めなかつた（図2）

### [考察]

ロリプラムは全身投与には用いにくい副作用があるが、内耳局所投与薬剤としては、正常動物に対して、前庭機能的、形態学的に大きな変化をきたさない可能性が示唆された。ロリプラムが、前庭神経節細胞での cAMP-CREB 系の活性化を引き起こすとすれば、末梢前庭障害時に局所投与薬として有効である可能性もあると考えた。

### [結論]

正常動物に対して、ロリプラムの内耳局所投与は前庭機能、形態に大きな影響をきたすことは認められなかつた。

図1  
VOR gainの経時変化

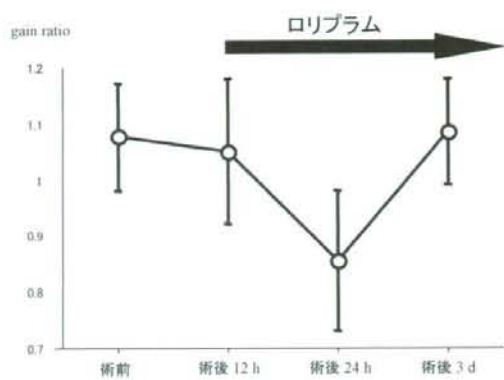
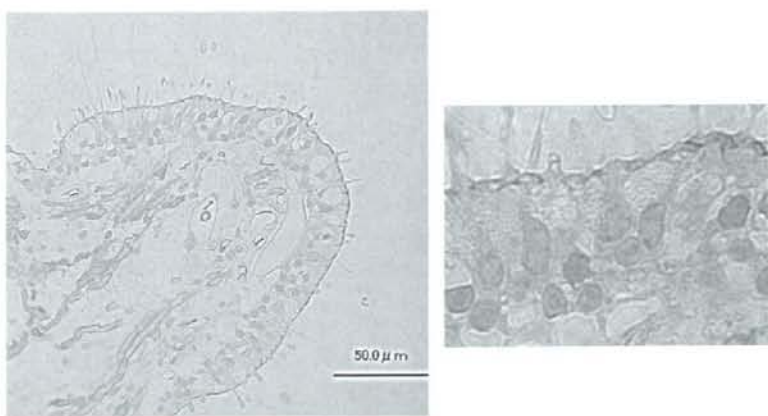


図2  
組織学的所見



## 9. テプレノン経口投与による前庭感覚細胞保護

菅原一真, 御厨剛史, 宮内裕爾, 橋本 誠, 下郡博明, 山下裕司 (山口大)

### [はじめに]

熱ショック応答は細胞がストレスに暴露された際に熱ショック蛋白質を高発現し、細胞を保護する反応である。最近、胃粘膜保護剤テプレノンが組織に熱ショック応答を誘導し、保護効果を示すことが注目されている。我々は、実験動物にテプレノンを経口投与することで、種々の蝸牛障害が抑制されることを報告してきた<sup>1,2</sup>。本研究では、テプレノンの経口投与が前庭感覚細胞を保護できるかどうかについて、実験動物を用いて検討した。

### [対象と方法]

生後4週から6週のCBA/Nマウスを用いた。テプレノン群は4週間、テプレノン0.5%を含む飼料で飼育した。コントロール群は通常の飼料で飼育した。これら2群のマウスを以下の検討に用いた。

#### 1. *Hsp70* の発現について

側頭骨を摘出し、TRIZOL 内で溶解し、mRNA を抽出した。*Hsp70* mRNA の発現を RT-PCR にて検討した。

#### 2. 感覚細胞の保護効果について

2群のマウスに対し、ペントバルビタールによる深麻酔下に無菌操作で両側の卵形囊を摘出し、培養液 (BME/EBSS 2:1 %v) に浮遊させた。有毛細胞死を誘導するために、1 mM のネオマイシンを加え、24時間、CO<sub>2</sub> インキュベーター内で培養した。培養終了後、4% パラホルムアルデヒドで固定し、PBS で洗浄した後、シリジポンプと27Gの注射針による水流にて卵形囊膜や耳石膜を除去し、感覚上皮を露出させた。試料を、ブロック液 (1% アルブミン、0.4% 正常ヤギ血清、0.4% 正常ウマ血清、0.4% Triton X-100を含む) に浸した後、抗カルモデュリン抗体 (Sigma, 1:150)、抗カルビンディン抗体 (Chemicon, 1:250) に反応させた。2次抗体として、Alexa 488抗マウス Ig-G抗体、Alexa 594抗ヤギ Ig-G抗体を用いて、感覚細胞を標識した。洗浄後、スライドガラス上に封入し、蛍光顕微鏡下に単位面積あたりの残存有毛細胞数を評価した。

### [結果]

両群のマウス側頭骨における *Hsp70* mRNA の発現を図1に示す。*Hsp70* mRNA はコントロール群においても発現を認めたが、テプレノン群において発現が上昇していることが示された。この結果から、テプレノンの経口摂取によって内耳に熱ショック応答が誘導されることが明らかとなった。培養実験では、ネオマイシンによる前庭感覚細胞死にテプレノン経口投与がどのような影響を与えるかについて検討した。有毛細胞を同定するために、抗カルモデュリン抗体、抗カルビンディン抗体を用いた二重染色を行った。コントロール群のマウスより摘出した卵形囊では、24時間後にカルモデュリン陽性有毛細胞、カルビンディン陽性有毛細胞共に細胞密度が減少していた。一方、テプレノン群のマウスより摘出した卵形囊では、ほとんどの有毛細胞が残存していた (図2)。

### [考察]

生体が外部からのストレスに曝された際、細胞内には速やかに熱ショック蛋白質群が発現し、細胞を保護する方向に作用する。この熱ショック応答は熱ショック転写因子 (HSF1) に制御されており、HSF1の活性化によって生体の熱ショック応答を誘導できることが明らかにされている。内耳においても熱ショック蛋白質の高発現が内耳を保護し、発現の調節にHSF1が重要な役割を持つことを報告した<sup>3</sup>。最近では、既に臨床に